

# کنترل پیشرفته‌ی سیستم‌های جوشکاری GMAW

## با استفاده از شبکه‌های عصبی تطبیقی

پلدا فرازمند  
گروه مهندسی برق  
دانشگاه آزاد اسلامی واحد کرج  
بهزاد کشیری مشهد  
گروه مهندسی برق  
دانشگاه آزاد اسلامی واحد کرج  
[Kasiri@gmail.com](mailto:Kasiri@gmail.com)

**چکیده:** GMAW(Gas Metal Arc Welding) به معنای جوشکاری قوس فلزی تحت پوشش گاز محافظ می‌باشد. این ابزار اولین بار در سال 1920 به دنیا ی صنعت معرفی شد و از سال 1948 به طور رسمی وارد بازار جوشکاری شد. در ابتدا از GMAW برای جوشکاری آلومینیوم تحت پوشش گاز محافظ خنثی استفاده می‌شد و به همین دلیل به آن (MIG) Metal Inert Gas می‌باشد. معمای جوشکاری تحت پوشش گاز خنثی نیز اطلاق می‌شود. پیشرفت‌های بعدی این فرآیند شامل انتقال فلز به صورت اتصال کوتاه (GMAW-S) بوده است که در آن به وسیله انرژی حرارتی پایین، امکان کاربرد در شرایط مکانی نامناسب فراهم می‌شود. این فرآیند دارای تجهیزات اتوماتیک یا نیمه اتوماتیک است و قابلیت جوشکاری اغلب فلزات را دارا می‌باشد، نیاز به پاک کردن رسوبات آن در حد صفر است در ضمن تاب برداشتن فلز در این فرآیند کاهش یافته و نیازی به پرداختکاری فلز را از بین می‌برد. در این مقاله قسمت‌های مختلف کنترلی این ابزارها مورد بررسی قرار می‌گیرد.

**کلمات کلیدی:** GMAW، طول قوس، شبکه‌ی عصبی تطبیقی، سیستم دینامیکی غیر خطی.

### ۱- مقدمه:

امروزه در صنعت در فرآیند GMAW الکترود مصرفی. که تحت پوشش گاز محافظ قرار دارد. به صورت اتوماتیک تغذیه می‌شود و عواملی مانند خصوصیات الکتریکی قوس و سرعت رسوب به صورت اتوماتیک و تنها سرعت انتقال هدایت و تنظیم مکان گان به صورت دستی انجام می‌گیرد. به طور کلی کنترل کلیه فرآیند توسط ابزارهای زیر انجام می‌گیرد :

۱- گان و کابل‌ها ۲- واحد تغذیه سیم جوش ۳- منبع تغذیه

گان و کابل‌ها : ورود گاز به منطقه قوس، هدایت الکترود مصرفی به مجرای اتصال و اعمال نیروی الکتریکی به مجرای اتصال و تنظیم اتوماتیک طول قوس از وظایف گان و کابل‌ها می‌باشد و با فشار دادن سوییچ گان، گاز، برق و سیم جوش به طور همزمان وارد عمل می‌شوند.

واحد تغذیه سیم جوش: الکترود را در طول گان به سمت قطعه کار هدایت می‌کند و به صورت نیمه اتوماتیک سرعت ثابت و دارای کنترل کننده‌هایی برای تنظیم اتوماتیک نوسانات ولتاژ می‌باشند.

منبع تغذیه: رساندن نیروی الکتریکی به الکترود و قطعه کار برای ایجاد قوس از وظایف این قسمت بوده و انواع اصلی منابع تغذیه جریان مستقیم شامل متور ژنراتور(چرخشی) و ترانسفورماتور-رکتیفایر(استاتیک) می‌باشد.

این فرایند دارای چهار حالت اصلی انتقال می باشد: انتقال اسپری محوری، انتقال قطره ای . انتقال پالسی . انتقال اتصال کوتاه .

\_انتقال اسپری محوری: در این حالت فلز به شکل قطراتی هم اندازه یا کوچکتر از قطر الکترود، دریک مسیر مستقیم از الکترود به سمت حوضچه جوش هدایت می شوند و قوس آن بسیار یکنواخت و پایدار است. این انتقال در سطح جریان می نیمم در الکتروودها با قطرهای مختلف ایجاد می شود که به این سطح جریان، "جریان انتقال" گویند.

\_انتقال قطره ای: در این حالت فلز به شکل قطراتی با اندازه های متفاوت، در حالت نا منظم و تصادفی در طول قوس انتقال می یابد و این امر باعث پاشش و درز جوش به نسبت نا همواری می شود. در ضمن با استفاده از پوشش CO<sub>2</sub> و تنظیم شرایط جوشکاری و قرار دادن الکترود در زیر حوضچه جوش مذاب می توان مقدار جرقه و پاشش را کاهش داد .

\_انتقال پالسی: در برخی منابع تغذیه، شکل موج و فرکانس به دقت کنترل می شوند و جریان تولیدی این منابع شامل جریان زمینه و جریان پالسی می باشد. در طول جریان پالسی، یک یا چند قطره سیم جوش مذاب شکل گرفته و منتقل می شود. فرکانس ودامنه جریان پالسی، سطح انرژی قوس و نرخ ذوب سیم جوش را کنترل می کند با کاهش انرژی متوسط قوس و نرخ ذوب سیم جوش، وضعیت ایده آل انتقال فلز به شیوه پالسی مهیا می شود .

\_انتقال اتصال کوتاه: در این حالت انتقال با انرژی کم و حرارت ورودی ضعیف صورت می گیرد و هنگامی که الکترود با حوضچه مذاب روی قطعه کار در تماس است تمام فلز انتقال پیدا می کند و نفوذ در جوش بسیار کم عمق می باشد و برای جوشکاری قطعات نازک مناسب است .

برای شبیه سازی این پروسه مدل ریاضی همراه با مدارهای الکتریکی و بحث های دینامیکی و نرخ ذوب ماشین جوش، سیم ها، الکتروودها و قوس الکتریکی مطرح می شوند . ساختار اصلی کنترلر GMAW شامل کنترلر طول قوس کنترلر انتقال فلز و کنترل حلقه درونی جریان جوش توسط کنترلر PI می باشد. برای کنترل طول قوس کنترلر غیر خطی با فیدبک خطی در نظر گرفته شده است. برای کنترل انتقال فلز، سایز یکسان قطره برای مقداردهی اولیه پالس مورد نیاز می باشد که به وسیله محاسبه مقدار الکترود ذوبی بین جریان پالس در طی عملیات جوش بدست می اید علاوه بر دو کنترل طول قوس و انتقال فلز، الگوریتم کاهش طول قوس نیز برای تنظیم قوس و کاهش گرمای ورودی به قطعه کار مورد استفاده قرار می گیرد. در این مقاله ما به بررسی و طراحی کنترلر طول قوس می پردازیم و نشان می دهیم که با استفاده از شبکه های عصبی تطبیقی می توان طول قوس را در سطح ثابت تنظیم کرد.

### 3- کنترل سیستم های GMAW

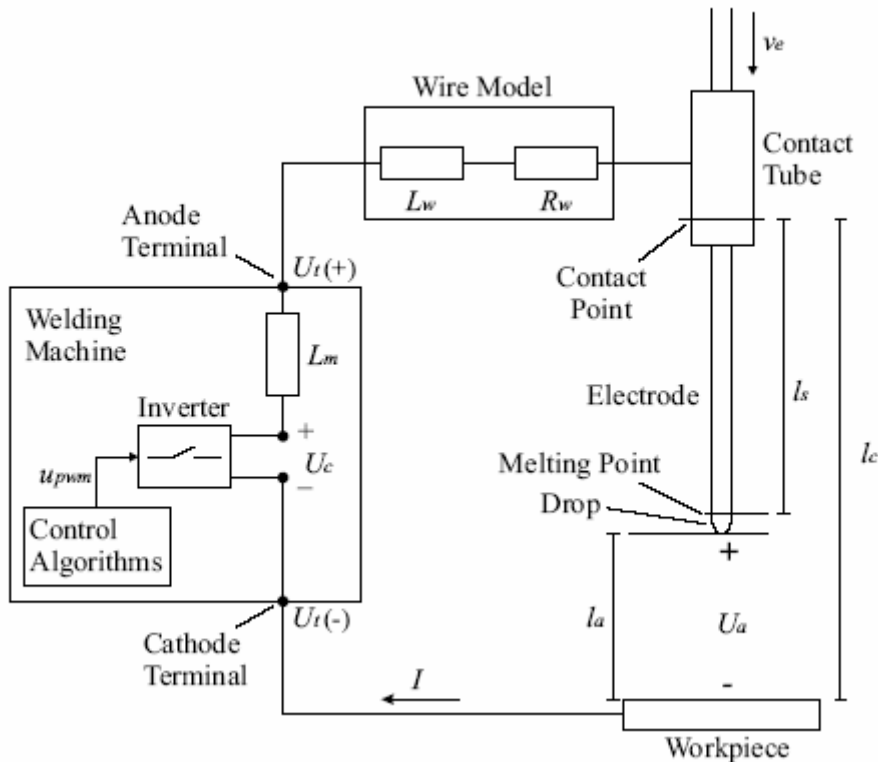
در این مقاله هدف اصلی ما توسعه ی شمای کنترلی پیشرفته برای دست یابی به جوش با کیفیت بهتر است. برای این منظور یک مدل ریاضی برای توصیف فرآیند معرفی می کنیم و سپس سیستم کنترلی مناسب پیشنهاد می کنیم.

### 3- بررسی کلی سیستم:

ما در اینجا به طور اختصاصی به بررسی ماشین های جوش Migatronic's FLEX400 می پردازیم. این ماشین ها از انواع ماشین های دیجیتال می باشند بنابر این نیاز به نرخی برای نمونه برداری Ts به عنوان مثال 50Khz داریم. در این سیستم کنترلی PWM محاسبه شده به Inverter فرستاده می شود. برای ارائه مدل الکتریکی پارامتر های زیر را تعریف می کنیم.

Uc: ولتاژ کنترلی Lm . Inverter : اندوکتانس سیم پیچ محافظ Inverter (اندوکتانس ماشین). Ut: ولتاژ ترمیナル ماشین. Lw: اندوکتانس کلی سیم ها. RW: مقاومت کلی سیم ها. ve: سرعت عقب گرد الکتروود vms: سرعت الکترود.

با در نظر گرفتن  $U_c$  به عنوان ورودی  $Lm$  مقدار کوچکی خواهد شد که می‌توان از آن صرف نظر کرد. همچنین برای مدل سیم‌ها دو پارامتر  $R_w$  و  $L_w$  در نظر گرفته می‌شود. در مدل الکترود افت ولتاژ روی آن بوسیله  $Re$  لاحظ می‌گردد.  $I_s$  به عنوان طول الکترود می‌باشد. شکل ۱ بیانگر توصیف سیستم GMAW می‌باشد.



شکل ۱: توصیف سیستم GMAW

دو پارامتر  $U_{tm}$ : ولتاژ ترمینال اندازه گیری شده و  $I_{wm}$ : جریان جوشکاری اندازه گیری شده را به عنوان خروجی فرآیند می‌توان در نظر گرفت.  $l_{ar}$ : طول قوس مرجع و  $l_a$ : طول قوس حقیقی می‌باشد که بطور مستقیم قابل اندازه گیری نیست.

### 2-3 کنترل غیرخطی طول قوس:

در این قسمت مدل دینامیکی طول قوس را بررسی می‌کنیم می‌توان با استفاده از مدل مداری به رابطه‌ی زیررسید

$$U_t = R_{wI}I + L_{wI}\dot{I} + R_{ae}I + l_s \rho_s I + h(I, l_a) \quad (1-3)$$

با توجه به مدل نرخ ذوب حالت دائمی [1] معادله ۳

را بدست می‌آوریم تغییرات  $l_a$  با سرعت الکترود و سرعت ذوب رابطه مستقیم دارد که در مادله ۳ نشان داده شده است. (3-3)

$$\dot{l}_a = v_m - v_e = k_1 I + k_2 I^2 (l_e - l_a) - v_e \quad (3-3)$$

متغیر دیگر دینامیک جریان است که در عمل دارای تابع انتقال درجه ۱ زیر می‌باشد

$$I = \frac{1}{\sigma \tau_z + 1} I_s \Rightarrow$$

$$\dot{I} = -\frac{1}{\tau_z} I + \frac{1}{\tau_z} I_s \quad (4-3)$$

در اینجا گین حالت دائمی را ۱ می‌گیریم. سیستم دینامیکی غیر خطیبه همراه متغیرهای حالت به صورت زیر بیان می‌شود.

$$\begin{array}{lll} u = I, & x_1 = I & \dot{x} = f(x) + g(x)u \\ y = l_0 & x_2 = l_0 & y = h(x) \end{array} \quad (5-3)$$

$$f(x) = \begin{bmatrix} f_1(x) \\ f_2(x) \end{bmatrix} = \begin{bmatrix} -\frac{1}{\tau_2}x_1 \\ k_1x_1 + k_2x_1^2(l_0 - x_2) - v_e \end{bmatrix} \quad (8-3)$$

$$h(x) = x_2 \quad (10-3) \quad g(x) = \begin{bmatrix} g_1(x) \\ g_2(x) \end{bmatrix} = \begin{bmatrix} \frac{1}{\tau_2} \\ 0 \end{bmatrix} \quad (9-3)$$

می توانیم با استفاده از feedback linearization این معادلات غیر خطی را خطی کنیم و به فضای حالت خطی بررسیم. نتایج بدست امده در ذیل مشاهده می شود.

$$\begin{array}{lll} \dot{x} = A_a x + B_a \gamma(x)[u - \alpha(x)] \\ y = C_a x \end{array} \quad (12-3) \quad x = \begin{bmatrix} x_1 \\ x_2 \end{bmatrix} = \begin{bmatrix} T_1(x) \\ T_2(x) \end{bmatrix} = \begin{bmatrix} h(x) \\ L_f h(x) \end{bmatrix} = \begin{bmatrix} x_2 \\ f_2(x) \end{bmatrix} \quad (11-3)$$

$$\gamma(x) = (k_1 + 2k_2x_1(l_0x_2))\frac{1}{\tau_2}$$

$$A_a = \begin{bmatrix} 0 & 1 \\ 0 & 0 \end{bmatrix}, \quad B_a = \begin{bmatrix} 0 \\ 1 \end{bmatrix}, \quad C_a = [1 \quad 0] \quad (14-3) \quad \alpha(x) = -\frac{1}{\gamma(x)}(\gamma(x)\tau_2 f_1 - k_2 x_2 f_2) \quad (13-3)$$

ما در اینجا تابع تبدیل سیستم خطی شده را بدست می آوریم. و در قسمت بعد برای کنترلر از آن استفاده می کنیم.

$$G_p(s) = \frac{1}{s^2} \quad (15-3)$$

### 3-3 شبکه عصبی تطبیقی:

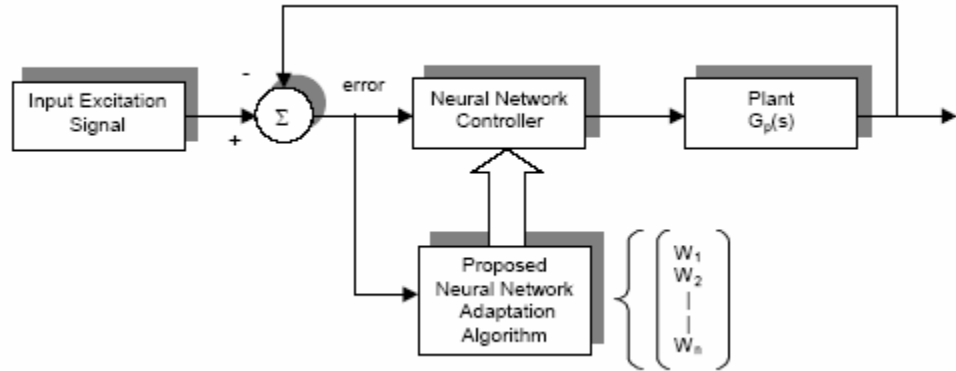
در این مقاله ما از الگوریتم تطبیقی Brandt-Lin استفاده کرده ایم. الگوریتم تطبیق و شبکه عصبی به صورت ریاضی به صورت زیر بیان می شود:

$$\begin{aligned} p_n &= \sum_{s \in S_n} w_s r_{pre_s} \\ r_n &= \sigma(p_n) \end{aligned} \quad (16-3)$$

$$\dot{\phi}_n = \frac{1}{2} \frac{d}{dt} \sum_{s \in A_n} w_s^2 = \sum_{s \in A_n} w_s \dot{w}_s \quad (17-3) \quad \varphi \text{ را به صورت زیر تعریف می کنیم:}$$

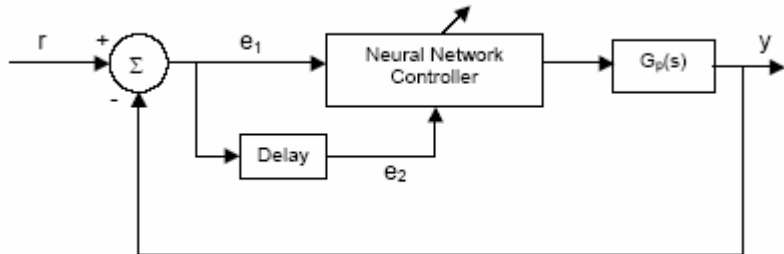
$$\dot{w}_s = r_{pre_s} (\phi_{post_s} \sigma(-p_{post_s}) + \gamma r_{post_s}) \quad (18-3) \quad \text{با به کارگیری وزن تطبیق به این صورت به دست می آید.}$$

2 رابطه اخیر الگوریتم Brandt-lin را برای تطبیق در شبکه عصبی بیان می کنند که معادل الگوریتم پس انتشار می باشد که احتیاجی به فیدبک پس انتشار خطای شبکه ندارد. حال با بررسی الگوریتم Brandt-lin در شبکه عصبی می پردازیم که در شکل 2 آمده است.



شکل 2: الگوریتم Brandt-lin در شبکه عصبی

ورودی ها  $e_1$  و  $e_2$  می باشند که  $e_1$  سیگنال خطی و  $e_2$  سیگنال خطای تأخیر یافته است. از آن جهت که کنترلر شبکه عصبی بدون حافظه می باشد برای اینکه خروجی تنها به ورودی همان لحظه وابسته نباشد و لحظات قبل نیز لحاظ شوند از یک تأخیر ساده استفاده می کنیم. توصیف بیشتر این شبکه در شکل شماره 3 آمده است.



شکل 3: توصیف شبکه عصبی تطبیقی

ما در این شبکه عصبی از دو لایه مخفی از نرون ها استفاده کرده ایم وتابع استفاده شده log-sig می باشد. خروجی شبکه را می توان از یک تابع tan-sig با یک گین ثابت گرفت که تجربه نشان داده است که استفاده از گین ثابت بهتر است. روابط نرون ها را به صورت زیر می توان بیان کرد:

$$E = e_1^2 = (r - y)^2 = r^2 - 2.y.r + y^2 \quad (20-3)$$

$$\begin{aligned} r_1 &= e_1 & \text{and } r_2 &= e_2 \\ p_3 &= W_1 r_1 + W_2 r_2 & \text{and } p_4 &= W_3 r_1 + W_4 r_2 \\ r_3 &= \sigma(p_3) & \text{and } r_4 &= \sigma(p_3) \\ p_5 &= W_5 r_3 + W_6 r_4 \end{aligned}$$

به کارگیری معادلات الگوریتم Brandt-lin نتایج ذیل را می دهد:

$$\dot{w}_1 = r_1(\phi_3 \sigma(-p_3) + \gamma.0) = e_1 \cdot \phi_3 \cdot \sigma(-p_3)$$

$$\dot{w}_2 = r_2(\phi_3 \sigma(-p_3) + \gamma.0) = e_2 \cdot \phi_3 \cdot \sigma(-p_3)$$

$$\dot{w}_3 = r_1(\phi_4 \sigma(-p_4) + \gamma.0) = e_1 \cdot \phi_4 \cdot \sigma(-p_4)$$

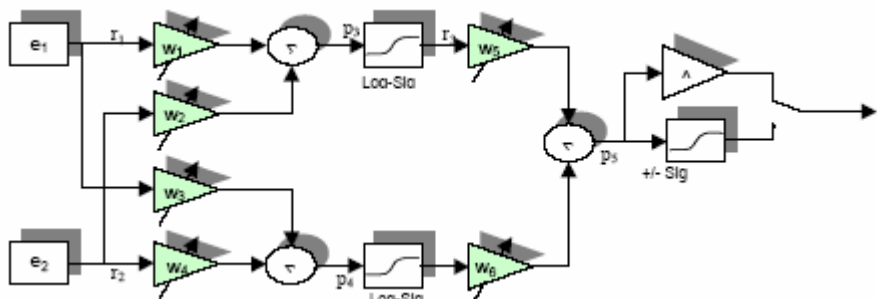
$$\dot{w}_4 = r_2(\phi_4 \sigma(-p_4) + \gamma.0) = e_2 \cdot \phi_4 \cdot \sigma(-p_4) \quad (21-3)$$

$$\phi_3 = w_5 \dot{w}_5 \text{ and } \phi_4 = w_6 \dot{w}_6. \quad (22-3)$$

اگر مشتقات Frechet را که به وسیله ثابتی تخمین زده شده است [3] در  $\gamma$  لحاظ کنیم،  $\dot{w}_5 = \gamma \cdot r_4 \cdot e_1$  خواهد بود و  $\dot{w}_5 = \gamma \cdot r_3 \cdot e_1$  نرخ تطبیق یا نرخ یادگیری است که

این متغیر برای نرخ تطبیق کنترلر شبکه عصبی متفاوت می باشد.

ترکیب کنترلر شبکه عصبی تطبیقی در شکل 4 آمده است.



شکل 4: ترکیب کنترلر شبکه عصبی تطبیقی

### 3-4 کنترلر پیشنهادی

یکی از اهداف مهم در جوشکاری GMAW ثابت نگه داشتن و کوچک کردن طول قوس می باشد. بنابراین ما طول قوس مرجع را 8mm و ورودی را یک پالس ژنراتور (A) 100 Hz با فرکانس 50 و یک مقدار 0/008 dc درنظر گرفته و به شبیه سازی سیستم غیرخطی پرداخته ایم. لازم به ذکر است که ورودی پالس ژنراتور به عنوان U که در معادلات دینامیکی غیرخطی آورده شد، درنظر گرفته و با توجه به روابط خطی به دست آمده از سیستم ورودی مطلوب V که خطی می باشد را به دست آورده ایم. V را به عنوان ورودی اصلی شبکه عصبی در نظر گرفته و خروجی مورد نظر را از گین مربوطه به دست آورده و سپس از شبیه سازی به نتایج زیر رسیده ایم:

**مدل 1:** اگر گین خروجی را 0/0003 و وزن ها را به  $90 \pm$  انتخاب کنیم:

$$Mp = 8/768 \text{ mm} \quad (\text{s. s}) \rightarrow la(\text{max}) = 8/234 \text{ mm}$$

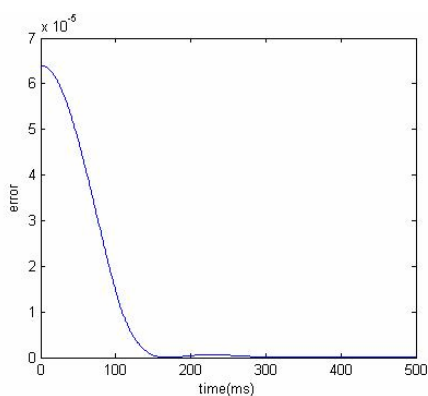
$$t_r = 179 \mu\text{s} \quad la(\text{min}) = 7/736 \text{ mm}$$

**مدل 2:** با افزایش گین خروجی به 0/00035 و قرار دادن وزن ها به اندازه  $80 \pm 0.5$  کاهش یافته و  $t_r$  افزایش می یابد.

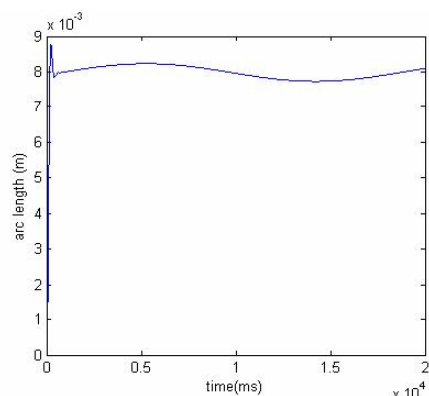
$$Mp = 8/589 \text{ mm} \quad (\text{s. s}) \rightarrow la(\text{max}) = 8/286 \text{ mm}$$

$$t_r = 183 \mu\text{s} \quad la(\text{min}) = 7/683 \text{ mm}$$

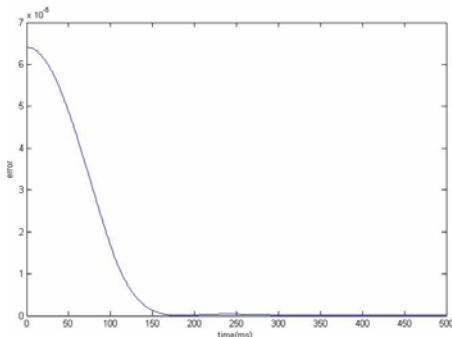
نتایج شبیه سازی در اشکال زیرآمده است:



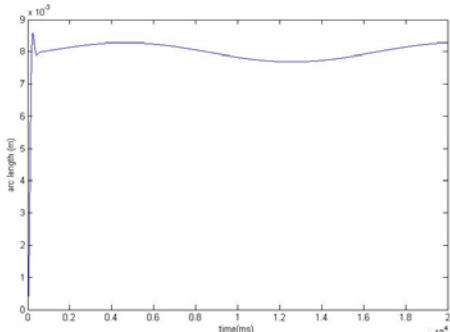
شکل 5-2 : انرژی خطا برای مدل 1



شکل 5-1 : طول قوس در مدل 1



شکل 6-2 : انرژی خطای مدل 2



شکل 6-1 : طول قوس در مدل 2

#### 4- نتیجه گیری:

ما با استفاده از الگوریتم تطبیق در شبکه عصبی و اجرای آن بر روی یک سیستم جوش دینامیکی غیرخطی نشان داده ایم که می توان به ازای جریان های بالا طول قوس (la) تنظیم شده تقریباً ثابت و کوچکی به دست آورد. همچنین در آینده به بررسی اثر اغتشاش و نویزهای محیطی بر روی سیستم های جوش خواهیم پرداخت.

#### 5- مراجع:

- [1] Jesper Sandberg Thomson, "Advanced Control Methods for Optimization of Arc Welding", Aalberg University Fredrik Bajers Vej, Denmark, 9<sup>th</sup> june 2004.
- [2] George saikalis, FengLin, "A Neural Network Controller by Adaptive Interaction", American Control Conference Arlington, VA june 25-29, 2001.
- [3] R.D. Brandt, F.Lin "Adaptive Interaction and its application to Neural Networks", Elsevier, information science 121, pp 201- 215 1999.
- [4] Cary, howard B.Modern welding technology. Englewood Cliffs, NJ: Prentice-Hall, Inc.
- [5] Lincoln Electric Company. The procedure handbook of welding. 12th Ed. Cleveland, Ohio: Lincoh Electric Company.
- [6] Lyttle, K.A. "GMAW, A versatile process on the move", Welding Journal 62 (3).